

УДК 539.3

АНАЛІЗ НАПРУЖЕНОГО СТАНУ ШАРУ З ДВОМА ЦИЛІНДРИЧНИМИ ПРУЖНИМИ ВКЛЮЧЕННЯМИ Й МІШАНИМИ ГРАНИЧНИМИ УМОВАМИ

В. Ю. Мірошніков, д-р техн. наук

v.miroshnikov@khai.edu

ORCID: 0000-0002-9491-0181

О. Б. Савін, канд. техн. наук

asavin344@gmail.com

ORCID: 0000-0002-2664-0255

М. М. Гребенніков

m.grebennikov@khai.edu

ORCID: 0000-0001-7648-3027

О. А. Погребняк

pogrebnaksasa@gmail.com

ORCID: 0000-0002-0912-8823

Національний аерокосмічний університет ім. М. Є. Жуковського «Харківський авіаційний інститут», 61070, Україна, Харків, вул. Чкалова, 17

Вступ

У різних галузях промисловості доводиться стикатися з проектуванням деталей і конструкцій з композитних матеріалів, які часто є шаром з поздовжнім армуванням, де, виходячи з інженерних розрахунків, необхідно розташовувати елементи армування на близькій відстані один до одного. З огляду на це важливо розуміти те, як впливає відстань між поздовжніми стрижнями на напружено-деформований стан у зоні контакту шару й армування. Для вирішення цих завдань можна проводити експерименти [1, 2] або використовувати чисельно-експериментальний підхід [3–7], сприймаючи композит як цілісний шар. Інший підхід – чисельно-аналітичний, у якому тіло композиту сприймається як складове перетину із кількох елементів. Однак для цього потрібен ефективний та високоточний метод розрахунку напружено-деформованого стану. Так, у роботі [8] із використанням методу зображень розв'язана двовимірна крайова задача дифракції симетричних нормальних хвиль поздовжнього зсуву для шару з циліндричною порожниною або включенням, а в роботах [9–12] на основі методу розкладання в ряди Фур'є – стаціонарні задачі дифракції хвиль визначення напруження для шару з циліндричною порожниною або включенням.

Однак для просторових моделей з великою кількістю граничних поверхонь і високою точністю визначення напруженого стану найбільше підходить чисельно-аналітичний узагальнений метод Фур'є [13], на основі якого розглянуті задачі для напівпростору з порожниною або включенням [14–16], шару з порожниною або включенням [17–20], циліндра з циліндричними порожнинами або включеннями [21–24], а також для напівпростору з порожниною, спряженою з шаром [25].

У роботі при проведенні досліджень також використовується узагальнений метод Фур'є.

Досліджується просторова задача теорії пружності для шару з двома нескінченними круговими суцільними циліндричними включеннями, паралельними між собою й межами шару. Шар і включення є однорідними, ізотропними матеріалами, фізичні характеристики цих тіл відмінні одна від одної. Кругові циліндричні пружні включення жорстко спряжені з шаром. На верхній межі шару задана просторова функція напружень, на нижній – переміщення. Необхідно визначити напружено-деформований стан композитного тіла. При цьому розв'язання задачі базується на узагальненому методі Фур'є, де використовуються особливі формули переходу між базисними розв'язками рівняння Ламе у різних системах координат. Таким чином, шар розглядається в декартовій системі координат, включення – у локальних циліндричних. Здовольняючи граничним умовам й умовам спряження, отримано системи нескінченних інтегро-алгебраїчних рівнянь, які в подальшому зведені до лінійних алгебраїчних. Нескінченна система розв'язується методом редукції. Після знаходження невідомих можна визначити напруження в будь-якій точці пружного композиційного тіла. У чисельних дослідженнях проведено порівняльний аналіз напруженого стану на поверхнях включень за різних відстаней між ними. Аналіз показав, що при зближенні включень напружений стан у шарі практично не змінюється. Однак спостерігається суттєва його зміна в тілах включень. Так, при цілному армуванні $((R_1 + R_2) / L > 0,5)$ необхідно враховувати відстані між армуючими волокнами. При значеннях напружень від 0 до 1 і порядку системи рівнянь $m=10$ точність виконання граничних умов складала 10^{-4} . При збільшенні порядку системи точність виконання граничних умов зростає. Представлене аналітико-чисельне розв'язання може використовуватися для високоточного визначення напружено-деформованого стану представленої типу задач, а також як еталонне для задач, що базуються на чисельних методах.

Ключові слова: композит, циліндричні включення в шарі, узагальнений метод Фур'є.

Статтю ліцензовано на умовах Ліцензії Creative Commons «Attribution» («Атрибуція») 4.0 Міжнародна.
© В. Ю. Мірошніков, О. Б. Савін, М. М. Гребенніков, О. А. Погребняк, 2022

Постановка задачі

У пружному однорідному шарі, паралельно його ме-
жам, розташовано два циліндричні вклучення радіусами R_p із
матеріалів, відмінних від матеріалу шару.

Вклучення розглядатимемо в локальних циліндричних
системах координат (ρ_p, φ_p, z) , шар – у декартовій системі коорди-
нат (x, y, z) , суміщеною із системою координат вклучення з номе-
ром $p=1$. Межі шару розташовані на відстані $y=h$ та $y=-\tilde{h}$ (рис. 1).

Необхідно знайти рішення рівняння Ламе за умови, що на
верхній межі шару задані напруження $F\vec{U}_0(x, z)|_{y=h} = \vec{F}_h^0(x, z)$, на
нижній – переміщення $\vec{U}_0(x, z)|_{y=-\tilde{h}} = \vec{U}_h^0(x, z)$, на межах контакту
шару і вклучень – умови спряження

$$\vec{U}_0(\varphi_p, z)|_{\rho_p=R_p} = \vec{U}_p(\varphi_p, z)|_{\rho_p=R_p}, \tag{1}$$

$$F\vec{U}_0(\varphi_p, z)|_{\rho_p=R_p} = F\vec{U}_p(\varphi_p, z)|_{\rho_p=R_p}, \tag{2}$$

де \vec{U}_0 – переміщення в шарі; \vec{U}_p – переміщення в циліндричному вклученні;

$F\vec{U} = 2 \cdot G \cdot \left[\frac{\sigma}{1-2 \cdot \sigma} \vec{n} \cdot \text{div} \vec{U} + \frac{\partial}{\partial n} \vec{U} + \frac{1}{2} (\vec{n} \times \text{rot} \vec{U}) \right]$ – оператор напруження;

$$\vec{F}_h^0(x, z) = \tau_{yx}^{(h)} \vec{e}_x + \sigma_y^{(h)} \vec{e}_y + \tau_{yz}^{(h)} \vec{e}_z \tag{3}$$

$$\vec{U}_h^0(x, z) = U_x^{(\tilde{h})} \vec{e}_x + U_y^{(\tilde{h})} \vec{e}_y + U_z^{(\tilde{h})} \vec{e}_z$$

відомі функції, які вважатимемо швидко спадаючими від початку координат по осі z і x .

Метод розв'язання

Оберемо базисні розв'язки рівняння Ламе для декартових і циліндричних систем координат у
вигляді [11]:

$$\begin{aligned} \vec{u}_k^{\pm}(x, y, z; \lambda, \mu) &= N_k^{(d)} e^{i(\lambda z + \mu x) \pm i \gamma y}; \\ \vec{R}_{k,m}(\rho, \varphi, z; \lambda) &= N_k^{(p)} I_m(\lambda \rho) e^{i(\lambda z + m \varphi)}; \end{aligned} \tag{4}$$

$$\vec{S}_{k,m}(\rho, \varphi, z; \lambda) = N_k^{(p)} \left[(\text{sign} \lambda)^m K_m(|\lambda| \rho) \cdot e^{i(\lambda z + m \varphi)} \right]; k = 1, 2, 3;$$

$$N_1^{(d)} = \frac{1}{\lambda} \nabla; N_2^{(d)} = \frac{4}{\lambda} (\sigma - 1) \vec{e}_2^{(1)} + \frac{1}{\lambda} \nabla(y \cdot); N_3^{(d)} = \frac{i}{\lambda} \text{rot}(\vec{e}_3^{(1)} \cdot); N_1^{(p)} = \frac{1}{\lambda} \nabla;$$

$$N_2^{(p)} = \frac{1}{\lambda} \left[\nabla \left(\rho \frac{\partial}{\partial \rho} \right) + 4(\sigma - 1) \left(\nabla - \vec{e}_3^{(2)} \frac{\partial}{\partial z} \right) \right]; N_3^{(p)} = \frac{i}{\lambda} \text{rot}(\vec{e}_3^{(2)} \cdot); \gamma = \sqrt{\lambda^2 + \mu^2}, -\infty < \lambda, \mu < \infty,$$

де $I_m(x), K_m(x)$ – модифіковані функції Бесселя; $\vec{R}_{k,m}, \vec{S}_{k,m}$ – внутрішні й зовнішні розв'язки рівняння
Ламе для циліндру відповідно; $\vec{u}_k^{(-)}, \vec{u}_k^{(+)}$ – розв'язки рівняння Ламе для шару; σ – коефіцієнт Пуассона.

Розв'язання задачі представимо у вигляді

$$\vec{U}_0 = \sum_{p=1}^2 \sum_{k=1}^3 \int_{-\infty}^{\infty} \sum_{m=-\infty}^{\infty} B_{k,m}^{(p)}(\lambda) \cdot \vec{S}_{k,m}(\rho_p, \varphi_p, z; \lambda) d\lambda + \tag{5}$$

$$+ \sum_{k=1}^3 \int_{-\infty}^{\infty} \int_{-\infty}^{\infty} (H_k(\lambda, \mu) \cdot \vec{u}_k^{(+)}(x, y, z; \lambda, \mu) + \tilde{H}_k(\lambda, \mu) \cdot \vec{u}_k^{(-)}(x, y, z; \lambda, \mu)) d\lambda d\mu$$

$$\vec{U}_p = \sum_{k=1}^3 \int_{-\infty}^{\infty} \sum_{m=-\infty}^{\infty} A_{k,m}^{(p)}(\lambda) \cdot \vec{R}_{k,m}(\rho_p, \varphi_p, z; \lambda) d\lambda, \tag{6}$$

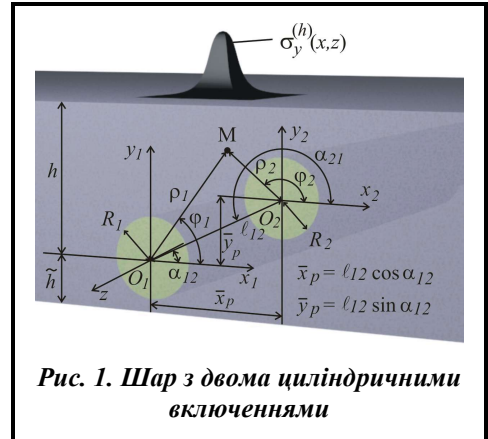


Рис. 1. Шар з двома циліндричними вклученнями

де $\bar{S}_{k,m}(\rho_p, \varphi_p, z; \lambda)$, $\bar{R}_{k,m}(\rho_p, \varphi_p, z; \lambda)$, $\bar{u}_k^{(+)}(x, y, z; \lambda, \mu)$ і $\bar{u}_k^{(-)}(x, y, z; \lambda, \mu)$ – базисні розв’язки, які задані формулами (4), а невідомі функції $H_k(\lambda, \mu)$, $\tilde{H}_k(\lambda, \mu)$, $B_{k,m}^{(p)}(\lambda)$, $A_{k,m}^{(p)}(\lambda)$ необхідно знайти з граничних умов (3) й умов спряження (1) і (2).

Для переходу між системами координат скористаємося формулами [17]:

– для переходу від розв’язків $\bar{S}_{k,m}$ циліндричної системи координат до розв’язків шару $\bar{u}_k^{(-)}$ (при $y > 0$) і $\bar{u}_k^{(+)}$ (при $y < 0$)

$$\begin{aligned} \bar{S}_{k,m}(\rho_p, \varphi_p, z; \lambda) &= \frac{(-i)^m}{2} \int_{-\infty}^{\infty} \omega_{\mp}^m \cdot e^{-i\mu\bar{x}_p \pm \gamma\bar{y}_p} \cdot \bar{u}_k^{(\mp)} \cdot \frac{d\mu}{\gamma}, \quad k = 1, 3; \\ \bar{S}_{2,m}(\rho_p, \varphi_p, z; \lambda) &= \frac{(-i)^m}{2} \int_{-\infty}^{\infty} \omega_{\mp}^m \cdot \left(\left(\pm m \cdot \mu - \frac{\lambda^2}{\gamma} \pm \lambda^2 \bar{y}_p \right) \bar{u}_1^{(\mp)} \mp \lambda^2 \bar{u}_2^{(\mp)} \pm \right. \\ &\left. \pm 4\mu(1-\sigma)\bar{u}_3^{(\mp)} \right) \cdot \frac{e^{-i\mu\bar{x}_p \pm \gamma\bar{y}_p} d\mu}{\gamma^2}, \end{aligned} \quad (7)$$

де $\gamma = \sqrt{\lambda^2 + \mu^2}$, $\omega_{\mp}(\lambda, \mu) = \frac{\mu \mp \gamma}{\lambda}$, $m = 0, \pm 1, \pm 2, \dots$;

– для переходу від розв’язків $\bar{u}_k^{(+)}$ і $\bar{u}_k^{(-)}$ шару до розв’язків $\bar{R}_{k,m}$ циліндричної системи координат

$$\begin{aligned} \bar{u}_k^{(\pm)}(x, y, z) &= e^{i\mu\bar{x}_p \pm \gamma\bar{y}_p} \cdot \sum_{m=-\infty}^{\infty} (i \cdot \omega_{\mp})^m \bar{R}_{k,m}, \quad (k = 1, 3); \\ \bar{u}_2^{(\pm)}(x, y, z) &= e^{i\mu\bar{x}_p \pm \gamma\bar{y}_p} \cdot \sum_{m=-\infty}^{\infty} \left[(i \cdot \omega_{\mp})^m \cdot \lambda^{-2} \left((m \cdot \mu + \bar{y}_p \cdot \lambda^2) \cdot \bar{R}_{1,m} \pm \right. \right. \\ &\left. \left. \pm \gamma \cdot \bar{R}_{2,m} + 4\mu(1-\sigma)\bar{R}_{3,m} \right) \right], \end{aligned} \quad (8)$$

де $\bar{R}_{k,m} = \tilde{b}_{k,m}(\rho_p, \lambda) \cdot e^{i(m\varphi_p + \lambda z)}$; $\tilde{b}_{1,n}(\rho, \lambda) = \bar{e}_{\rho} \cdot I'_n(\lambda\rho) + i \cdot I_n(\lambda\rho) \cdot \left(\bar{e}_{\varphi} \frac{n}{\lambda\rho} + \bar{e}_z \right)$;

$\tilde{b}_{2,n}(\rho, \lambda) = \bar{e}_{\rho} \cdot [(4\sigma - 3) \cdot I'_n(\lambda\rho) + \lambda\rho I''_n(\lambda\rho)] + \bar{e}_{\varphi} i \cdot m \left(I'_n(\lambda\rho) + \frac{4(\sigma - 1)}{\lambda\rho} I_n(\lambda\rho) \right) + \bar{e}_z i \lambda\rho I'_n(\lambda\rho)$;

$\tilde{b}_{3,n}(\rho, \lambda) = - \left[\bar{e}_{\rho} \cdot I_n(\lambda\rho) \frac{n}{\lambda\rho} + \bar{e}_{\varphi} \cdot i \cdot I'_n(\lambda\rho) \right]$; \bar{e}_{ρ} , \bar{e}_{φ} , \bar{e}_z – орти в циліндричній системі координат;

– для переходу від розв’язків циліндру з номером p до розв’язків циліндру з номером q

$$\begin{aligned} \bar{S}_{k,m}(\rho_p, \varphi_p, z; \lambda) &= \sum_{n=-\infty}^{\infty} \bar{b}_{k,pq}^{mn}(\rho_q) \cdot e^{i(n\varphi_q + \lambda z)}, \quad k = 1, 2, 3; \\ \bar{b}_{1,pq}^{mn}(\rho_q) &= (-1)^n \tilde{K}_{m-n}(\lambda\ell_{pq}) \cdot e^{i(m-n)\alpha_{pq}} \cdot \tilde{b}_{1,n}(\rho_q, \lambda); \\ \bar{b}_{3,pq}^{mn}(\rho_q) &= (-1)^n \tilde{K}_{m-n}(\lambda\ell_{pq}) \cdot e^{i(m-n)\alpha_{pq}} \cdot \tilde{b}_{3,n}(\rho_q, \lambda); \end{aligned} \quad (9)$$

$$\bar{b}_{2,pq}^{mn}(\rho_q) = (-1)^n \left\{ \tilde{K}_{m-n}(\lambda\ell_{pq}) \cdot \tilde{b}_{2,n}(\rho_q, \lambda) - \frac{\lambda}{2} \ell_{pq} \cdot \left[\tilde{K}_{m-n+1}(\lambda\ell_{pq}) + \tilde{K}_{m-n-1}(\lambda\ell_{pq}) \right] \cdot \tilde{b}_{1,n}(\rho_q, \lambda) \right\} \cdot e^{i(m-n)\alpha_{pq}},$$

де α_{pq} – кут між віссю x_p і відрізком ℓ_{pq} , $\tilde{K}_m(x) = (\text{sign}(x))^m \cdot K_m(|x|)$.

Для задоволення граничних умов на верхній межі шару вектор (5) прирівнюємо (при $y=h$) до заданого $\bar{F}_h^0(x, z)$, представленого через подвійний інтеграл Фур’є. Базисні розв’язки

$\bar{S}_{k,m}(\rho_p, \varphi_p, z; \lambda)$ за допомогою формул переходу (7) перепишемо у декартовій системі координат через базисні розв'язки $\bar{u}_k^{(-)}(x, y, z; \lambda, \mu)$. Враховуючи це, отримаємо перші три рівняння (по одному на кожну проєкцію) із 12 невідомими $H_k(\lambda, \mu)$, $\tilde{H}_k(\lambda, \mu)$, $B_{k,m}^{(1)}(\lambda)$, $B_{k,m}^{(2)}(\lambda)$.

Для задоволення граничних умов на нижній межі шару вектор (5) прирівняємо (при $y = -\tilde{h}$) до заданого $\bar{U}_{\tilde{h}}^0(x, z)$, представленого через подвійний інтеграл Фур'є. Базисний розв'язок $\bar{S}_{k,m}(\rho_p, \varphi_p, z; \lambda)$ за допомогою формул переходу (7) перепишемо у декартовій системі координат через базисні розв'язки $\bar{u}_k^{(+)}(x, y, z; \lambda, \mu)$. Завдяки цьому, отримаємо другі три рівняння.

Із цієї системи рівнянь знайдемо $H_k(\lambda, \mu)$ і $\tilde{H}_k(\lambda, \mu)$ через $B_{k,m}^{(p)}(\lambda)$.

Враховуючи умови спряження шару і включень, можемо записати по три рівняння для кожного включення у вигляді переміщень (1). При цьому, використовуючи вираз $\bar{U}_0(\varphi_p, z)_{\rho_p=R_p}$, необхідно врахувати формули переходу від розв'язків $\bar{u}_k^{(+)}(x, y, z; \lambda, \mu)$ і $\bar{u}_k^{(-)}(x, y, z; \lambda, \mu)$ до розв'язків $\bar{R}_{k,m}(\rho_p, \varphi_p, z; \lambda)$ (8) і формули переходу від розв'язків $\bar{S}_{k,m}(\rho_q, \varphi_q, z; \lambda)$ до розв'язків $\bar{S}_{k,m}(\rho_p, \varphi_p, z; \lambda)$ (9). Застосувавши до отриманого виразу оператор напруження, можемо записати ще три рівняння для кожного включення у вигляді напружень (2).

Якщо ми маємо два включення, то таких рівнянь (у переміщеннях і напруженнях) буде 12 із невідомими $H_k(\lambda, \mu)$, $\tilde{H}_k(\lambda, \mu)$, $B_{k,m}^{(p)}(\lambda)$, $A_{k,m}^{(p)}(\lambda)$. Виключивши з цих рівнянь знайдені раніше $H_k(\lambda, \mu)$ і $\tilde{H}_k(\lambda, \mu)$ через $B_{k,m}^{(p)}(\lambda)$ і звільнившись від рядів по m і інтегралів по λ , отримаємо 12 нескінчених лінійних алгебраїчних рівнянь другого роду для визначення невідомих $B_{k,m}^{(p)}(\lambda)$ і $A_{k,m}^{(p)}(\lambda)$.

Визначник цієї системи рівнянь співпадає з [16].

До отриманих нескінчених систем рівнянь застосуємо метод редукції, внаслідок чого знайдемо коефіцієнти $B_{k,m}^{(p)}(\lambda)$. Тепер $B_{k,m}^{(p)}(\lambda)$ підставимо у вираз для $H_k(\lambda, \mu)$ і $\tilde{H}_k(\lambda, \mu)$. Так будуть знайдені всі невідомі виразів (5) і (6).

Представлені у роботі розв'язання нескінченної системи методом редукції показали його збіжність, що з високою точністю задовольняє граничним умовам.

Чисельні дослідження напруженого стану

У пружному ізотропному шарі (рис. 1) розташовано два, жорстко зчеплені з ним, пружні ізотропні циліндричні включення. Коефіцієнт Пуассона шару (ABS пластик) $\sigma_0=0,38$, модуль пружності $E_0=1700$ Н/мм², включення (сталь) $\sigma_1=\sigma_2=0,21$, $E_1=E_2=200000$ Н/мм². Геометричні характеристики моделі: $R_1=R_2=10$ мм, $h=20$ мм, $\tilde{h}=30$ мм, $\alpha_{12}=0$. Відстань між центрами включень прийемо у двох варіантах: $L_{12}=25$ мм і $L_{12}=30$ мм.

На верхній межі шару задані напруження у вигляді хвилі $\sigma_y^{(h)}(x, z) = -10^8 \cdot (z^2 + 10^2)^{-2} \cdot (x^2 + 10^2)^{-2}$, $\tau_{yx}^{(h)} = \tau_{yz}^{(h)} = 0$, на нижній переміщення відсутні $U_x^{(\tilde{h})} = U_y^{(\tilde{h})} = U_z^{(\tilde{h})} = 0$.

Нескінчена система була зрізана по параметру m . При $L_{12}=30$ мм параметр $m=6$, при $L_{12}=25$ мм параметр $m=10$.

Обчислення інтегралів виконано квадратурними формулами Філона (для функцій, що коливаються) і Сімсона (для функцій без осциляцій). Точність виконання граничних умов при вказаних значеннях m і заданих геометричних параметрах – 10^{-4} .

При зближенні включень напружений стан у шарі майже не змінюється. Відмінність спостерігається лише в тілах включень.

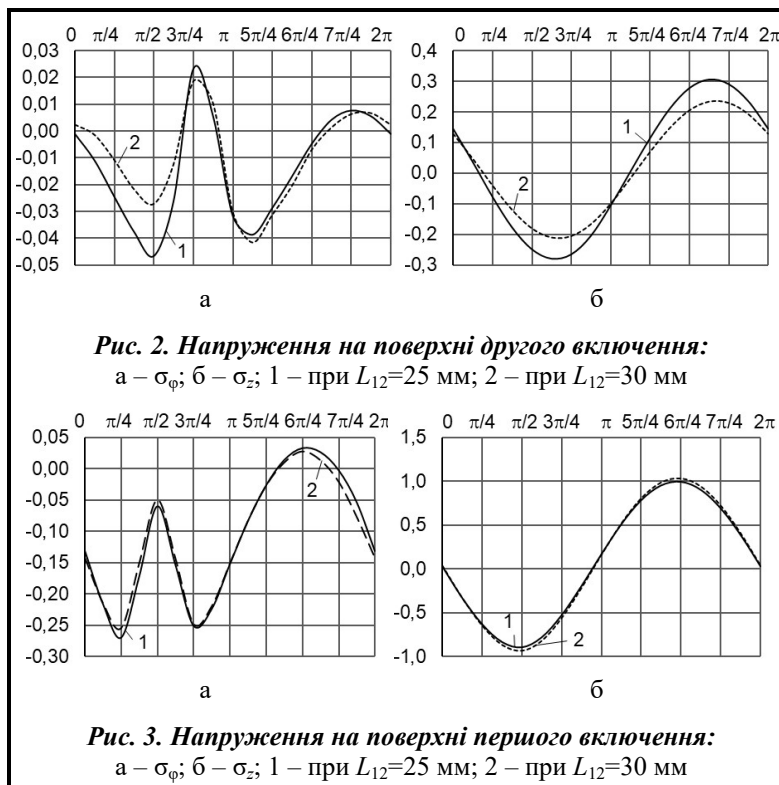
На рис. 2 наведено графіки напружень σ_φ і σ_z на поверхні другого включення при $z=0$ в Н/мм².

При наближенні другого циліндричного включення до першого, напруження σ_φ і σ_z на його поверхні збільшуються. Причому значення напружень σ_φ значно зростають (рис. 2, а), особливо у верхній частині включення, де вони є максимальними. У цілому зростання напруження у включенні, з наближенням його до місця дислокації навантаження, є природним.

На рис. 3 зображено графіки напружень σ_φ і σ_z на поверхні першого включення при $z=0$ в Н/мм².

При наближенні другого циліндричного включення до першого, напруження σ_φ на поверхні першого циліндра збільшуються (рис. 3, а), а напруження σ_z трохи зменшуються (рис. 3, б), перерозподіляючись на другий циліндр.

На поверхні першого циліндра максимальне значення напружень σ_φ виникають при $\varphi=\pi/4$, а σ_z – при $\varphi=\pi/2$.



Висновки

На основі узагальненого методу Фур'є запропоновано метод розв'язання третьої основної просторової задачі теорії пружності для шару з двома поздовжніми круговими циліндричними включеннями. Задачу зведено до нескінченної системи лінійних рівнянь алгебри, що допускає застосування до неї методу редукції. Чисельні дослідження дають підстави стверджувати, що її розв'язання може бути з будь-якою точністю знайдене запропонованим методом, що підтверджується високою точністю виконання граничних умов.

Метод розв'язання можна використовувати при проектуванні композитних матеріалів, розрахунковою схемою яких є армований шар із заданими граничними умовами у вигляді напруження на верхній межі шару і переміщень на нижній.

Представлений порівняльний аналіз показує, що зближення елементів армування впливає на напружений стан у них, зокрема, на напруження σ_φ і σ_z .

Запропонований метод розв'язання дозволяє отримати напружено-деформований стан для шару лише з двома поздовжніми круговими циліндричними включеннями. Для подальшого розвитку цього методу можна збільшити кількість включень до трьох і більше. Для цього необхідно змінити даний алгоритм, пропрацювавши зв'язки між двома зсунутими системами координат, а також між їх базисними розв'язками.

Література

1. Aitharaju V., Aashat S., Kia H., Satyanarayana A., Bogert P. Progressive damage modeling of notched composites. NTRS – NASA Technical Reports Server: Official site. 2016. <https://ntrs.nasa.gov/archive/nasa/casi.ntrs.nasa.gov/20160012242.pdf>.
2. Ершова А. Ю., Мартиросов М. И. Экспериментальные исследования полимерных композитов с мелкодисперсным наполнителем (испытания на растяжение-сжатие). *Строительная механика инженерных конструкций и сооружений*. 2014. Т. 5. С. 61–69.
3. Pelekh B. L., Makhnitskii R. N. Approximate methods for solving problems on the concentration of stresses around apertures in orthotropic disks made out of composite materials. *Mechanics of Composite Materials*. 1981. Vol. 16. Iss. 6. P. 690–693. <https://doi.org/10.1007/BF00606258>.
4. Pobedrya B. E., Gorbachev V. I. Stress and strain concentration in composite materials. *Mechanics of Composite Materials*. 1984. Vol. 20. Iss. 2. P. 141–148. <https://doi.org/10.1007/BF00610353>.

5. Annin B. D., Maksimenko V. N. Evaluation of the failure of plates made of composite materials with holes. *Mechanics of Composite Materials*. 1989. Vol. 25. Iss. 2. P. 216–222. <https://doi.org/10.1007/BF00616267>.
6. Smetankina N., Kravchenko I., Merculov V., Ivchenko D., Malykhina A. Modelling of bird strike on an aircraft glazing. *Integrated Computer Technologies in Mechanical Engineering. Series "Advances in Intelligent Systems and Computing"*. 2020. Vol. 1113. P. 289–297. https://doi.org/10.1007/978-3-030-37618-5_25.
7. Сметанкина Н. В. Нестационарное деформирование, термоупругость и оптимизация слоистых пластин и цилиндрических оболочек. Харьков: Миськдрук, 2011. 376 с.
8. Rodichev Y. M., Smetankina N. V., Shupikov O. M., Ugrimov S. V. Stress-strain assessment for laminated aircraft cockpit windows at static and dynamic load. *Strength of Materials*. 2018. Vol. 50. Iss. 6. P. 868–873. <https://doi.org/10.1007/s11223-019-00033-4>.
9. Волчков В. В., Вуколов Д. С., Сторожев В. И. Дифракция волн сдвига на внутренних туннельных цилиндрических неоднородностях в виде полости и включения в упругом слое со свободными гранями. *Механика твердого тела*. 2016. Т. 46. С. 119–133.
10. Гузь А. Н., Кубенко В. Д., Черевко М. А. Дифракция упругих волн. Киев: Наукова думка, 1978. 307 с.
11. Гринченко В. Т., Мелешко В. В. Гармонические колебания и волны в упругих телах. Киев: Наукова думка, 1981. 284 с.
12. Grinchenko V. T., Ulitko A. F. An exact solution of the problem of stress distribution close to a circular hole in an elastic layer. *Soviet Applied Mechanics*. 1968. Vol. 4. P. 31–37. <https://doi.org/10.1007/BF00886618>.
13. Николаев А. Г., Проценко В. С. Обобщенный метод Фурье в пространственных задачах теории устойчивости. Харьков: Национальный аэрокосмический университет «ХАИ», 2011. 344 с.
14. Николаев А. Х., Орлов Е. М. (2012). Решение первой осесимметричной термоупругой краевой задачи для трансверсально-изотропного полупространства со сфероидальной полосой. Проблемы вычислительной механики и прочности конструкций. 2012. Т. 20. С. 253–259.
15. Николаев А. Г., Щербакова А. Ю., Юхно А. И. Действие сосредоточенной силы на трансверсально-изотропном полупространстве с параболаидальным включением. *Вопросы проектирования и производства конструкций летательных аппаратов*. 2006. Т. 2. С. 47–51.
16. Protsenko V., Miroshnikov V. Investigating a problem from the theory of elasticity for a half-space with cylindrical cavities for which boundary conditions of contact type are assigned. *Eastern-European Journal of Enterprise Technologies. Applied mechanics*. 2018. Vol. 4. No. 7 (94). P. 43–50. <https://doi.org/10.15587/1729-4061.2018.139567>.
17. Miroshnikov V. Yu. Stress state of an elastic layer with a cylindrical cavity on a rigid foundation. *International Applied Mechanics*. 2020. Vol. 56 (3). P. 372–381. <https://doi.org/10.1007/s10778-020-01021-x>.
18. Miroshnikov V. Y., Medvedeva A. V., Oleshkevich S. V. Determination of the stress state of the layer with a cylindrical elastic inclusion. *Materials Science Forum*. 2019. Vol. 968. P. 413–420. <https://doi.org/10.4028/www.scientific.net/MSF.968.413>.
19. Miroshnikov V., Denysova T., Protsenko V. The study of the first main problem of the theory of elasticity for a layer with a cylindrical cavity. *Strength of Materials and Theory of Structures*. 2019. Vol. 103. P. 208–218. <https://doi.org/10.32347/2410-2547.2019.103.208-218>.
20. Miroshnikov V. Yu., Protsenko V. S. Determining the stress state of a layer on a rigid base weakened by several longitudinal cylindrical cavities. *Journal of Advanced Research in Technical Science*. 2019. Vol. 17. P. 11–21.
21. Nikolaev A. G., Tanchik E. A. The first boundary-value problem of the elasticity theory for a cylinder with N cylindrical cavities. *Numerical Analysis and Applications*. 2015. Vol. 8. P. 148–158. <https://doi.org/10.1134/S1995423915020068>.
22. Nikolaev A. G., Tanchik E. A. Stresses in an infinite circular cylinder with four cylindrical cavities. *Journal of Mathematical Sciences*. 2016. Vol. 217 (3). P. 299–311. <https://doi.org/10.1007/s10958-016-2974-z>.
23. Nikolaev A. G., Tanchik E. A. Model of the stress state of a unidirectional composite with cylindrical fibers forming a tetragonal structure. *Mechanics of Composite Materials*. 2016. Vol. 52. P. 177–188. <https://doi.org/10.1007/s11029-016-9571-6>.
24. Nikolaev A. G., Tanchik E. A. Stresses in an elastic cylinder with cylindrical cavities forming a hexagonal structure. *Journal of Applied Mechanics and Technical Physics*. 2016. Vol. 57. P. 1141–1149. <https://doi.org/10.1134/S0021894416060237>.
25. Miroshnikov V. Yu. Investigation of the stress state of a composite in the form of a layer and a half space with a longitudinal cylindrical cavity at stresses given on boundary surfaces. *Journal of Mechanical Engineering – Problemy mashynobuduvannia*. 2019. Vol. 22. No. 4. P. 24–31. <https://doi.org/10.15407/pmach2019.04.024>.

Надійшла до редакції 04.05.2022